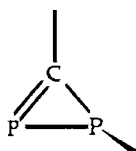
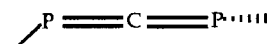
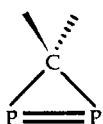


969

Fitzpatrick\*, N. J., Brougham, D. F.,  
Groarke, P. J., Nguyen\*, M. T.

Effekt von Fluor- und Chlor-Substituenten auf die Stabilität von Diphosphaallen-, Diphosphiren- und Phosphanylphosphaalkin-Isomeren ( $XX'CP_2$ -Spezies mit  $X, X' = H, F$  und  $Cl$ )

Effect of Fluorine and Chlorine Substituents on Stabilities of Diphosphaallene, Diphosphiren, and Phosphanylphosphaalkyne Isomers ( $XX'CP_2$  Species with  $X, X' = H, F$ , and  $Cl$ )

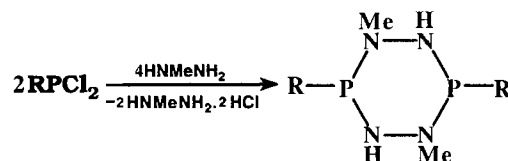


979

Reddy, V. S., Katti\*, K. V., Barnes, C. L.

Übergangs-Metall-Chemie von Hauptgruppen-Element-Hydraziden, VI. – Neue gezielte Synthese-Strategien zu funktionalisierten heterocyclischen Phosphor(III)-hydraziden. Erste Beispiele für Kristall- und Molekülstrukturen von  $[RPN(Me)N(H)]_2$  ( $R = Et, Ph$  und  $tBu$ )

Transition Metal Chemistry of Main Group Hydrazides, VI. – New Directed Synthetic Strategies to Functionalized Heterocyclic Phosphorus(III) Hydrazides. First Examples of Crystal and Molecular Structures of  $[RPN(Me)N(H)]_2$  ( $R = Et, Ph$ , and  $tBu$ )



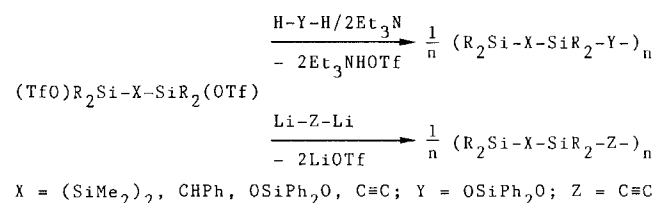
$R = Et, 1; Ph, 2; tBu, 3$

985

Uhlig, W.

Bis(trifluormethylsulfonyloxy)organosilicium-Verbindungen als Synthesebausteine für neuartige Silicium-polymere

Bis(trifluoromethylsulfonyloxy)organosilicon Compounds as Synthetic Materials for New Silicon Polymers

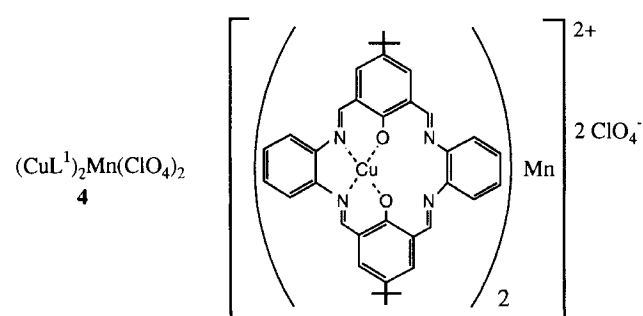


991

Brychcy, K., Jens, K.-J., Tilset, M., Behrens\*, U.

Komplexe mit makrocyclischen Liganden, II. – Synthese, Struktur und elektrochemische Eigenschaften eines makrocyclischen  $Cu^{II}_2Mn^{II}$ -Komplexes vom Schiff-Basen-Typ

Complexes with Macroyclic Ligands, II. – Synthesis, Structure and Electrochemical Properties of a Macroyclic  $Cu^{II}_2Mn^{II}$  Complex of Schiff Base Type

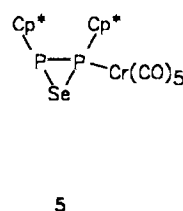
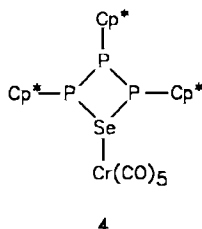


997

Jutzi\*, P., Brusdeilins, N., Stammler, H.-G.,  
Neumann, B.

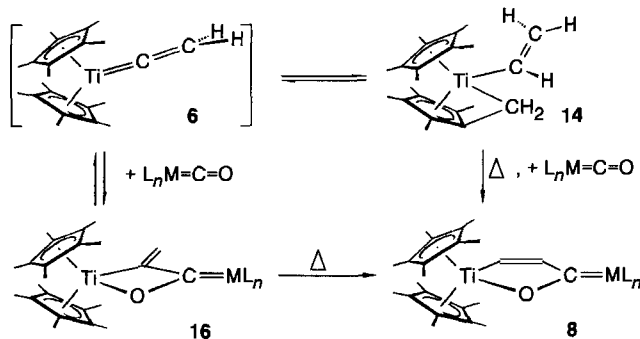
Pentamethylcyclopentadienyl-substituiertes Selenadiphosphiran und Selenatriphosphetan: Synthese, Struktur, Dynamik und einige Reaktionen

Pentamethylcyclopentadienyl-Substituted Selenadiphosphiran and Selenatriphosphetane: Synthesis, Structure, Dynamic, and Some Reactions



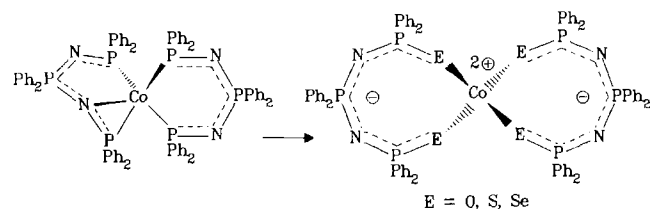
Cyclische isomere vier- und fünfgliedrige heterodinukleare Fischer-Carbenkomplexe – gebildet aus einem Vinylidentitanocen-Fragment und Metallcarbonylen

Cyclic Isomeric Four- and Five-Membered Heterodinuclear Carbene Complexes – Formed from a Titanocene Vinylidene Fragment and Metal Carbonyls



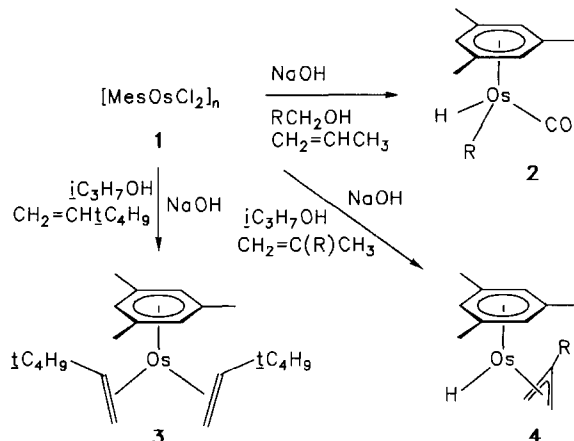
Chemie polyfunktioneller Moleküle, 112. – Ringerweiterungsreaktionen an einem neuartigen spirocyclischen Cobaltaphosphazenen mit Sauerstoff, Schwefel und Selen

Chemistry of Polyfunctional Molecules, 112. – Ring Enlargement Reactions of a Spirocyclic Cobaltaphosphazene with Oxygen, Sulfur, and Selenium



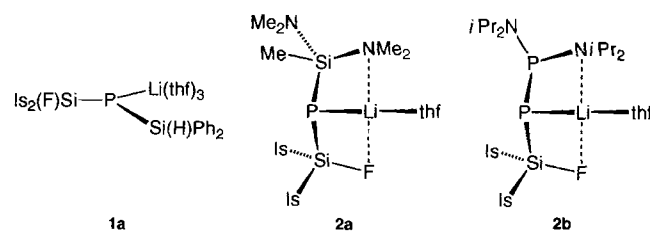
Studien zur C–H-Aktivierung, X. – Synthese von Alkyl(carbonyl)hydrido- und Allylhydrido-Osmiumkomplexen durch Metall-initiierte Fragmentierung von primären Alkoholen und Olefinen

Studies on C–H Activation, X. – Synthesis of Alkyl(carbonyl)hydrido- and Allylhydridoosmium Complexes by Metal-initiated Fragmentation of Primary Alcohols and Olefins



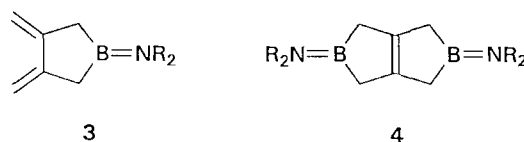
Evidenz für eine Struktur-Reaktivität-Beziehung bei sperrig substituierten Lithium-(fluorsilyl)phosphaniiden

Evidence for a Structure-Reactivity Relationship of Crowded Substituted Lithium (Fluorosilyl)phosphanides



3,4-Dimethylenborolane und 3,7-Diborabicyclo[3.3.0]oct-1(5)-ene

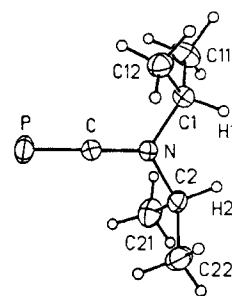
3,4-Dimethyleneborolanes and 3,7-Diborabicyclo[3.3.0]oct-1(5)-enes



- 1041** Becker, G., Böhringer, M., Gleiter, R., Pfeifer, K.-H., Grobe\*, J., Le Van, D., Hegemann, M.

Reaktive E=C(p-p) $\pi$ -Systeme, XXXVIII. – Molekül- und Elektronenstruktur des 2-(Diisopropylamino)-1 $\lambda^3$ -phosphaethins  $iPr_2NC\equiv P$

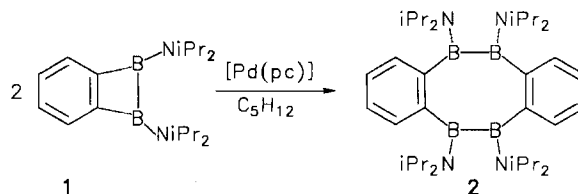
Reactive E=C(p-p) $\pi$ -Systems, XXXVIII. – Molecular and Electronic Structure of 2-(Diisopropylamino)-1 $\lambda^3$ -phosphaethyne  $iPr_2NC\equiv P$



- 1047** Krämer, A., Pritzkow, H., Siebert\*, W.

Synthese und Struktur von 5,6,11,12-Tetrakis(diisopropylamino)-5,6,11,12-tetrahydronbenzo[c,g]-[1,2,5,6]tetraborocin

Synthesis and Structure of 5,6,11,12-Tetrakis(diisopropylamino)-5,6,11,12-tetrahydronbenzo[c,g]-[1,2,5,6]tetraborocene

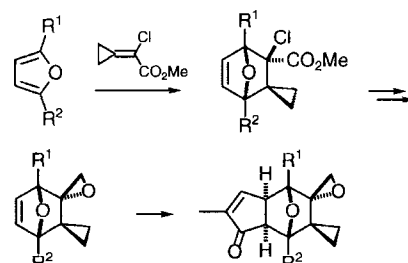
**B**

## Teil B: Organische Chemie / Part B: Organic Chemistry

- 1051** Primke, H., Sarin, G. S., Kohlstruk, S., Adiwidjaja, G., de Meijere\*, A.

Neue Cyclopropyl-Bausteine für die organische Synthese, 21. – Diels-Alder-Reaktionen von 2-Chlor-2-cyclopropylidenessigsäure-methylester mit elektronenreichen Dienen: Synthese und potentielle Zwischenstufen für Illudin M

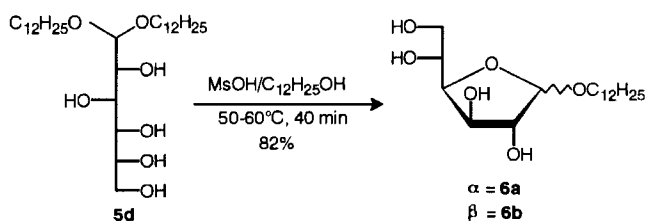
New Cyclopropyl Building Blocks for Organic Synthesis, 21. – Diels-Alder Reactions of Methyl 2-Chloro-2-cyclopropylideneacetate with Electron-Rich Dienes: Synthesis of Potential Intermediates for Illudin M



- 1065** Tietze\*, L.F., Böge, K., Vill, V.

Flüssig-kristalline D-Glucose-dialkylacetale und Dodecyl-D-glucofuranoside

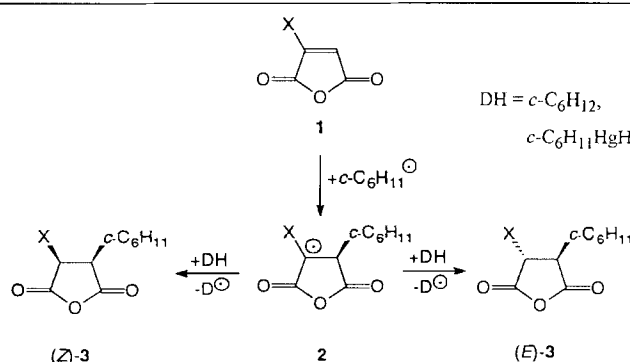
Liquid-Crystalline D-Glucose Dialkyl Acets and Dodecyl D-Glucofuranosides



- 1069** Metzger\*, J. O., Schwarzkopf, K., Saak, W., Pohl, S.

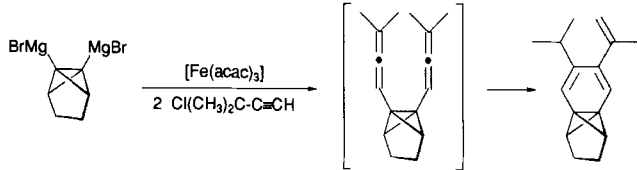
Stereoselektivität des Transfers von Wasserstoff-Atomen auf cyclische Alkyl-Radikale

Stereoselectivity of the Transfer of Hydrogen Atoms to Cyclic Alkyl Radicals



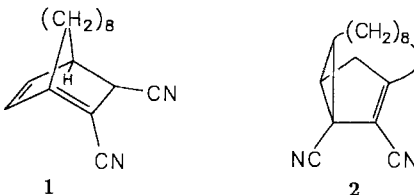
Eisenkatalysierte Kupplung von Tricyclo[4.1.0.0<sup>2,7</sup>]hept-1-ylmagnesiumbromid und verwandten Grignard-Reagenzien mit propargyischen und allylischen Halogeniden

Iron-Catalyzed Coupling of Tricyclo[4.1.0.0<sup>2,7</sup>]hept-1-ylmagnesium Bromide and Related Grignard Reagents with Propargylic and Allylic Halides



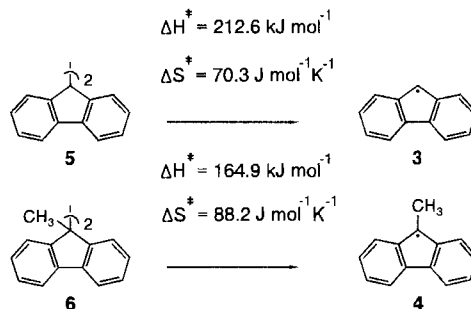
Struktur von Octamethylen-überbrückten Derivaten von 1,3-Cyclohexadien und Bicyclo[3.1.0]hexen

Structure of Octamethylene-Bridged Derivatives of 1,3-Cyclohexadiene and Bicyclo[3.1.0]hexene



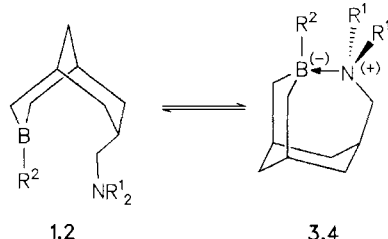
Thermolabile Kohlenwasserstoffe, 33. – Thermochemie und thermischer Zerfall von 9,9'-Bifluorenyl und 9,9'-Dimethyl-9,9'-bifluorenyl. – Stabilisierungsenergie des 9-Fluorenyl-Radikals

Thermolabile Hydrocarbons, 33. – Thermochemistry and Thermal Decomposition of 9,9'-Bifluorenyl and 9,9'-Dimethyl-9,9'-bifluorenyl – The Stabilization Energy of 9-Fluorenyl Radicals



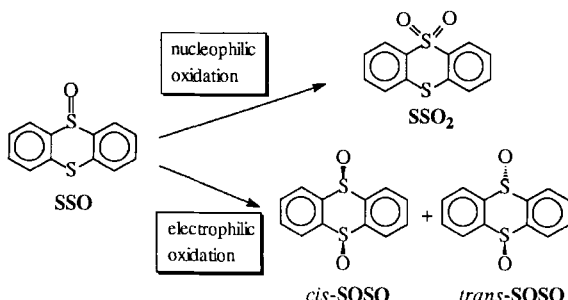
Transanulare Wechselwirkungen in difunktionellen mittleren Ringen, 5. – Spektroskopische Untersuchungen von bicyclischen Boraaminen

Transanular Interactions in Difunctional Medium Rings, 5. – Spectroscopic Investigations of Bicyclic Boraamines



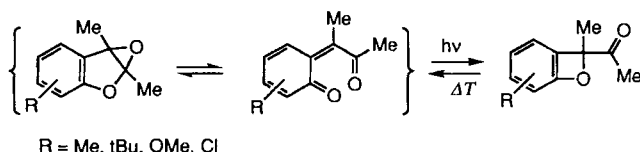
Thianthren-5-oxid (SSO) als mechanistische Sonde für den elektrophilen Charakter des Sauerstoff-Transfers von Dioxiranen

Thianthrene 5-Oxide (SSO) as a Mechanistic Probe of the Electrophilic Character in the Oxygen Transfer by Dioxiranes



Darstellung von 2*H*-Benzoxeten durch photoinduzierte [2+2]-Cycloaddition von Chinonmethiden, zugänglich durch Dimethyldioxiran-(DMD)-Oxidation von 2,3-Dimethylbenzofuranen

Preparation of 2*H*-Benzoxetes by Photoinduced [2+2] Cycloaddition of Quinone Methides, Accessible by Dimethyldioxirane (DMD) Oxidation of 2,3-Dimethylbenzofurans

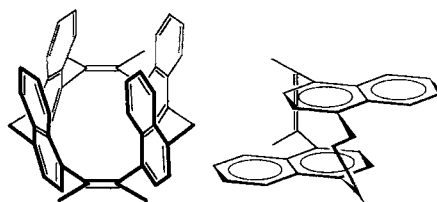


- 1119** Ernst\*, L., Ibrom, K., Marat, K., Mitchell, R. H., Bodwell, G. J., Bushnell, G. W.  
*syn-ar,ar'*-Difluorometacyclophane: Starke  $^{19}\text{F}$ , $^{19}\text{F}$ -Spin-Spin-Wechselwirkungen durch den Raum  
*syn-ar,ar'*-Difluorometacyclophanes: Strong  $^{19}\text{F}$ , $^{19}\text{F}$  Spin-Spin Interactions Transmitted through Space
- 
- 1: R = H  
2: R = iBu  
3: R = SMe  
4: R = H
- 1125** Fürstner\*, A., Jumbam, D. N., Seidel, G.  
 Synthese von Zindoxyfen und analogen Verbindungen durch Titan-induzierte Oxo-Amid-Kupplung  
 Syntheses of Zindoxyfene and Analogues by Titanium-Induced Oxo-Amide Coupling
- 
- 1131** Niestroj\*, M., Neumann, W. P., Thies, O.  
 Zinn für organische Synthesen, 11. – Eine milde und effektive Synthesemethode für  $\alpha,\beta$ -ungesättigte Carboxamide und Sulfonamide durch elektrophile Substitution von Alkenylstannanen mit Isocyanaten  
 Tin for Organic Synthesis, 11. – A Mild and Effective Synthesis of  $\alpha,\beta$ -unsaturated Carboxamides and Sulfonamides by Electrophilic Substitution of Alkenylstannanes with Isocyanates
- 
- 1137** Christl\*, M., Braun, M., Wolz, E., Wagner, W.  
 Cycloallene, 9. – 1-Phenyl-1-aza-3,4-cyclohexadien, das erste Isodihydropyridin: Erzeugung und Afbangreaktionen  
 Cycloallenes, 9. – 1-Phenyl-1-aza-3,4-cyclohexadiene, the First Isodihydropyridine: Generation and Interception
- 
- 1143** Herges\*, R., Reif, W.  
 Synthese von 6,6-Dimethylfulven-2-carbonsäure-methylester und -2,3-dicarbonsäure-dimethylester sowie deren Umsetzung zu 2,3,5,6-substituierten Norbornadienen  
 Synthesis of Methyl 6,6-Dimethylfulvene-2-carboxylate and Dimethyl 6,6-Dimethylfulvene-2,3-dicarboxylate as well as their Reaction to 2,3,5,6-Substituted Norbornadienes
- 
- 1147** Lemmerz, R., Nieger, M., Vögtle\*, F.  
 Darstellung, Struktur und konformatives Verhalten gespannter Adamantanophane  
 Preparation, Structure, and Conformational Behaviour of Strained Adamantanophanes
-

**1157 Grützmacher\*, H.-F., Nolte, G.**

Eine bequeme Synthese neuer makrocyclischer Naphthalinophane

A Convenient Synthesis of New Macrocyclic Naphthalenophanes

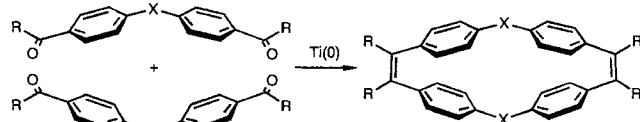


**Notizen / Notes**

**1163 Grützmacher\*, H.-F., Mehdizadeh, A., Mülverstedt, A.**

Eine bequeme Synthese von makrocyclischen [2.1.2.1]Paracyclophananen

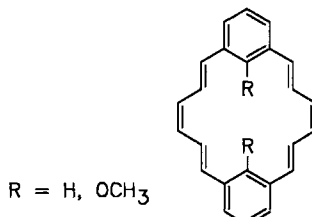
A Convenient Synthesis of Macrocyclic [2.1.2.1]Paracyclophanes



**1167 Michels, H.-P., Nieger, M., Vögtle\*, F.**

Dibenzo[18]annulene mit zwei Diphenylhexatrien-Einheiten

Dibenzo[18]annulenes Incorporating Two Diphenylhexatriene Units



**Kurzmitteilung / Short Communication**

**1171 Iraqi, M., Goldberg, N., Schwarz\*, H.**

Charakterisierung neutraler und ionischer Schwefel–Stickstoff-Cluster-Moleküle  $\text{NS}_2$  und  $\text{NS}_3$  in der Gas-Phase

Characterization of Neutral and Ionic Sulfur–Nitrogen Cluster Molecules  $\text{NS}_2$  and  $\text{NS}_3$  in the Gas Phase

